

## ИЗМЕРЕНИЕ СЕЧЕНИЯ ЯДЕРНЫХ РЕАКЦИЙ ДЛЯ БОР-НЕЙТРОНОЗАХВАТНОЙ ТЕРАПИИ ЗЛОКАЧЕСТВЕННЫХ ОПУХОЛЕЙ БЕЗНЕЙТРОННОЙ ТЕРМОЯДЕРНОЙ ЭНЕРГЕТИКИ

М.И. Бикчурина<sup>1</sup>, Т.А. Быков<sup>1</sup>, Г.Д. Верховод<sup>1</sup>, Д.А. Касатов<sup>1</sup>, Я.А. Колесников<sup>1</sup>, А.М. Кошкарев<sup>1</sup>, Г.М. Острейнов<sup>1</sup>, С.С. Савинов<sup>1</sup>, Е.О. Соколова<sup>1</sup>, А.А. Шуклина<sup>1</sup>, С.Ю. Таскаев<sup>1</sup> (+7(383)329-41-21, taskaev@inp.nsk.su)



### Публикации:

- M. Bikchurina et al. Study of the  $^{11}\text{B}(p, \alpha)\alpha\alpha$  reaction in the 0.3–2.15 MeV energy range of the proton beam. *Phys. Part. Nuclei Lett.* 21 (2024) 390–394. DOI: 10.1134/S1547477124700328, и.-ф. 1.099.
- S. Taskaev et al. Measurement of cross-section of the  $^6\text{Li}(d, \alpha)^4\text{He}$  .... *Nucl. Instrum. Methods Phys. Res., Sect. B* 554 (2024) 165460. DOI: 10.1016/j.nimb.2024.165460, импакт-фактор 1.4.
- S. Taskaev et al. Measurement of the  $^{11}\text{B}(p, \alpha)^8\text{Be}$  and the  $^{11}\text{B}(p, \alpha_1)^8\text{Be}^*$  ... *Nucl. Instrum. Methods Phys. Res., Sect. B* 555 (2024) 165490. DOI: 10.1016/j.nimb.2024.165490, импакт-фактор 1.4.
- S. Taskaev et al. Measurement of the  $^{10}\text{B}(d, \alpha_0)^8\text{Be}$ ,  $^{10}\text{B}(d, \alpha_1)^8\text{Be}^*$  ... *Nucl. Instrum. Methods Phys. Res., Sect. B* 557 (2024) 165527. DOI: 10.1016/j.nimb.2024.165527, импакт-фактор 1.4.
- S. Meshchaninov et al. Measurement of cross-section of the  $^7\text{Li}(d, n)^8\text{Be}$  reactions ... *Physics of Atomic Nuclei* 87(6) (2024) 771–785. DOI: 10.1134/S1063778824700789, импакт-фактор 0.982.

На ускорительном источнике нейтронов VITA с применением  $\gamma$ -,  $\alpha$ - и нейтронного спектрометра измерены сечения ядерных реакций  $^7\text{Li}(p, p'\gamma)^7\text{Li}$ ,  $^7\text{Li}(p, \alpha)^4\text{He}$ ,  $^6\text{Li}(d, \alpha)^4\text{He}$ ,  $^6\text{Li}(d, p)^7\text{Li}$ ,  $^6\text{Li}(d, p)^7\text{Li}^*$ ,  $^7\text{Li}(d, \alpha)^5\text{He}$ ,  $^7\text{Li}(d, n\alpha)^4\text{He}$ ,  $^7\text{Li}(d, n)^8\text{Be}$ ,  $^7\text{Li}(d, n)^8\text{Be}^*$ ,  $^{11}\text{B}(p, \alpha_0)^8\text{Be}$ ,  $^{11}\text{B}(p, \alpha_1)^8\text{Be}^*$ ,  $^{11}\text{B}(p, \alpha)\alpha\alpha$ ,  $^{10}\text{B}(d, \alpha_0)^8\text{Be}$ ,  $^{10}\text{B}(d, \alpha_1)^8\text{Be}^*$ ,  $^{10}\text{B}(d, p_2)^9\text{Be}^*$ ,  $^{11}\text{B}(d, \alpha_0)^9\text{Be}$ ,  $^{11}\text{B}(d, \alpha_2)^9\text{Be}^*$  и выход частиц в ядерных реакциях  $^7\text{Li}(p, p'\gamma)^7\text{Li}$  и  $^7\text{Li}(p, n)^7\text{Be}$  при энергии ионов до 2,2 МэВ. Пример спектра регистрируемых заряженных частиц представлен на рисунке 1. Полученные данные внесены в базу данных ядерных реакций IBANDL и позволили уточнить поглощенную дозу при проведении бор-нейтронозахватной терапии, доказать неэффективность улучшения протонной терапии за счет использования препаратов с бором, уточнить энергобаланс и перспективность развития безнейтронной термоядерной энергетики в реакции  $^{11}\text{B}(p, \alpha)\alpha\alpha$  и впервые определить энергетический спектр нейтронов в реакции  $^7\text{Li}(d, n)$  – самой продуктивной реакции генерации нейтронов.

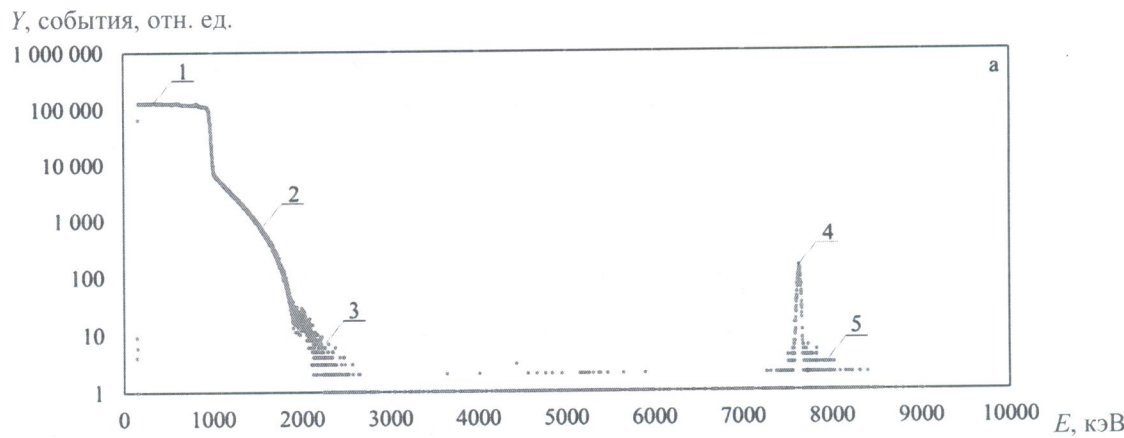


Рисунок 1 – Спектр заряженных частиц, регистрируемых  $\alpha$ -спектрометром при облучении литиевой мишени 1 МэВ протонами: 1–3 – обратно отраженные протоны от меди (1 – одиночные события, 2 – двойные, 3 – тройные), 4 –  $\alpha$ -частицы в реакции  $^7\text{Li}(p, \alpha)^4\text{He}$ , 5 – одновременная регистрация  $\alpha$ -частицы и протона.

ПФНИ 1.3.3.1. (Физика элементарных частиц и фундаментальных взаимодействий).

Государственное задание, FWGM-2022-0023 «Фундаментальные исследования в разработке методики бор-нейтронозахватной терапии»; грант РНФ 19-72-30005.